

# 不同风向下阶梯型屋面的风环境对比研究

# 郭安琪

安徽建工检测科技集团有限公司 安徽合肥 230000

【摘 要】基于ANSYS fluent19. 2,选用Realizable  $k-\varepsilon$  湍流模型,在雷诺数为 $6.6\times10^4$ 的均匀流场下,对高低屋盖进行模拟研究,模拟得到高低屋盖高屋盖及低屋盖表面的风压系数和流场分布,并将两者结合判断高低屋盖的风压分布机理。结果表明:高屋盖与低屋盖的迎风侧分离点处风压分布相似,均为先减小后增大,低屋盖风压分布较为均匀,风压系数集中在 $-0.2^-0.5$ ,高屋盖风压变化剧烈,系数值为 $0.4^-1.5$ ;高低屋盖流场会产生三个旋涡,小尺度旋涡产生在低屋面迎风侧,中尺度旋涡位于整个低屋面上,大尺度旋涡位于高低屋面后方。

【关键词】高低屋盖;数值模拟; Realizable k-ε湍流模型; 风压系数; 流场分布

#### 引言

高低屋盖是一种典型的大跨度屋面形式,在实际工程中 具有广泛的应用。而建筑风环境常常会影响建筑周边的布 局,引发风灾害,因此目前国内外学者对风环境相关问题 展开了一系列研究。

风环境研究手段主要包括现场实测、风洞试验和数值模拟。现场实测能够获取第一手资料,是最有效的研究方法。例如张明金、沈炼、黄国庆[1-4]等人分别对山区峡谷桥址的平均风速、风向、风攻角、湍流度、湍流积分尺度和功率谱等风特性进行了测量和分析。李秋胜、龙水、张传雄[5-7]等人在台风过境时获得了风环境的风速、风向及风压时程数据,并利用统计学方法对数据进行了相关性分析。由于场地和成本的限制,数值模拟逐渐发展起来。祝志文[8]以区域地形图为计算域地面边界,对桥址峡谷风场进行了数值模拟计算,再现了峡谷气流运动。张博[9]基于实际地形数据,对某输电线路所在区域的风环境进行分析,发现了线路舞动现象出现的原因及其机理。

本文基于雷诺平均方法,选用Realizable k-ε湍流模型,在雷诺数为6.6×10<sup>4</sup>的均匀流场下,以高低屋盖为研究对象,对不同风向角下高低屋盖周围风速及流场分布进行数值模拟研究。

#### 1 基本控制方程

# 1.1 质量守恒方程

质量守恒方方程如下:

$$\frac{\partial \rho}{\partial t} + \frac{\partial (\rho u)}{\partial x} + \frac{\partial (\rho v)}{\partial y} + \frac{\partial (\rho w)}{\partial z} = 0 \tag{1}$$

式中, $\rho$  表示空气密度; t代表时间; u、v、w为速度在x、v和z方向的分量。

#### 1.2 动量守恒方程

动量守恒方方程可表示为:

$$\frac{\partial \rho u}{\partial t} + \operatorname{div}(\rho u u) = -\frac{\partial p}{\partial x} + \frac{\partial \tau_{xx}}{\partial x} + \frac{\partial \tau_{yx}}{\partial y} + \frac{\partial \tau_{zx}}{\partial z} + F_{x}$$

$$\frac{\partial \rho v}{\partial t} + \operatorname{div}(\rho v u) = -\frac{\partial p}{\partial y} + \frac{\partial \tau_{xy}}{\partial x} + \frac{\partial \tau_{yy}}{\partial y} + \frac{\partial \tau_{zy}}{\partial z} + F_{y}$$

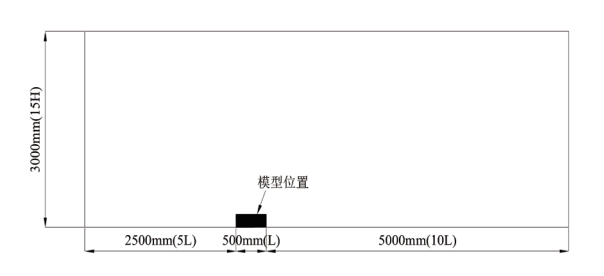
$$\frac{\partial \rho w}{\partial t} + \operatorname{div}(\rho w u) = -\frac{\partial p}{\partial z} + \frac{\partial \tau_{xz}}{\partial x} + \frac{\partial \tau_{yz}}{\partial y} + \frac{\partial \tau_{zz}}{\partial z} + F_{z}$$
(1)

式中,p为微元体上的压力;  $\tau_{xx}$ 、  $\tau_{xy}$ 、  $\tau_{xz}$ 表示粘性应力  $\tau$  的分量;  $F_{x}$ 、  $F_{y}$ 、  $F_{y}$  为微元体上的体力。

#### 2 计算模型及参数设定

本文数值模拟在来流速度为5m/s的均匀流场进行,对应流场雷诺数为6.6×10<sup>4</sup>。计算域及网格划分见图1和图2,模型总高200mm,长500mm,高屋盖与低屋盖高度比为1:2,长度比为2:3。二维模拟计算域大小为16L(流向x)×15H<sub>2</sub>(竖向y),为保证风场的稳定和发展,计算域前流场长度为5L,后流场长度取10L。网格采用非均匀结构化网格,核心区域网格数占总网格数的50%以上,边界层网格高度为5mm,增长率为1.1。





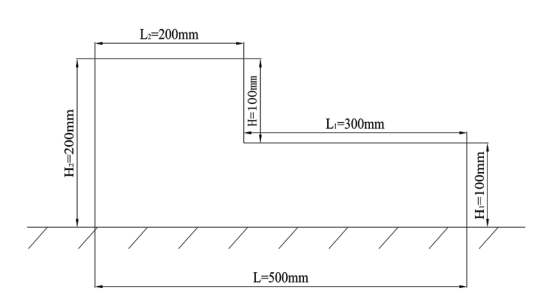
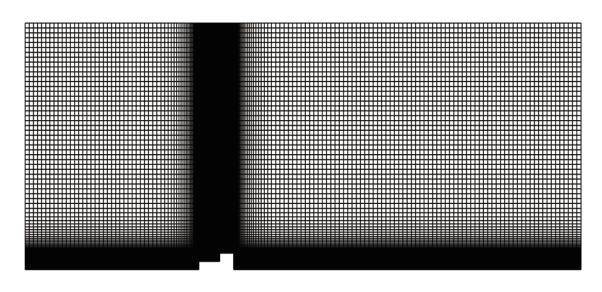
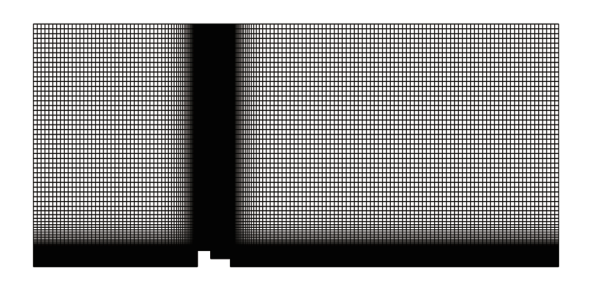


图1 计算域及模型尺寸

Fig. 1 Computational domain and model dimensions



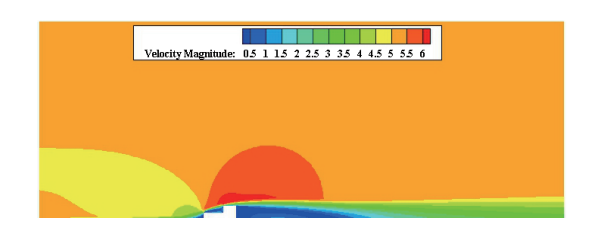
(a) 低屋盖迎风



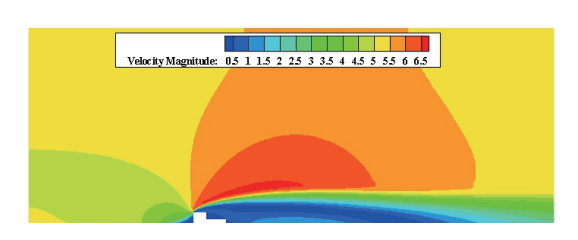
(b) 高屋盖迎风

图2 不同风向工况的网格划分

Fig. 2 Grid division for different wind direction conditions



(a) 低屋盖迎风



(b) 高屋盖迎风

图3 不同风向下阶梯型屋盖的风场风速分布

Fig. 3 Distribution of wind speed in the wind field of stepped roof under different wind directions

# 3 结果与讨论

## 3.1 高低屋盖周边风速分布

通过公式(3)计算高低屋盖的高屋盖和低屋盖的平均 风压系数,计算公式为:

$$C_p = \frac{2P}{\rho U_0^2} \tag{3}$$

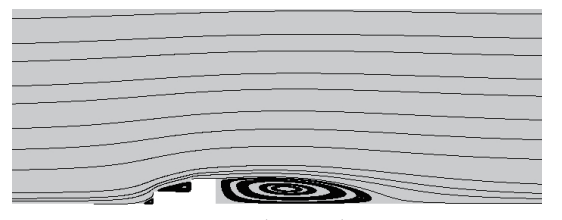
式中: P为测点风压, $\rho$  为空气密度, $U_0$ 为来流风速,对应 $C_0$ 为无量纲风压系数。

平均风压系数结果如图3所示。由图可知, 高屋盖和低

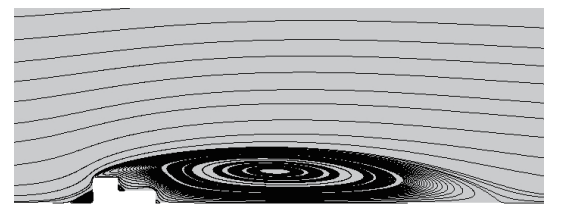
屋盖平均风压系数相差较大,在交界处(x = 0.3m)风压突减。低屋盖风压分布较为平稳,风压系数最大值与最小值之间相差不超过0.2,风压沿顺风向缓慢增大,在低屋盖根部(x = 0.3m)达到最大值。高屋盖风压变化较大,风压系数最小值位于高屋盖迎风侧,最大值处于高屋盖背风侧,风压沿顺风向增大。总体来看,高屋盖与低屋盖的迎风侧分离点处风压分布相似,均为先减小后增大,低屋盖风压分布较为均匀,风压系数集中在-0.2~-0.5,高屋盖风压变化剧烈,系数值为0.4~1.5。

#### 3.2 高低屋盖的流场分布





(a) 低屋盖迎风



(b) 高屋盖迎风

### 图4 不同风向阶梯型屋盖的流场分布

为了明确风压与流场之间的关系,分析风压分布机理, 分别取t = 125s、250s、375s和500s,将流场演化的不同阶 段总结为图4。

流场在不同时刻的分布完全相同,在高低屋盖迎风面前侧,形成一个尺度非常小的旋涡,使此处形成一个风速减弱区。由于风在低屋盖迎风点分离,出现了风加速区,这与上述分离点处的风压分布规律相吻合,由于风达到高低屋盖交界处被反弹,存在逆风向速度,因此低屋盖上产生了一个分离涡,此分离涡尺度与低屋盖跨度几乎相同,由于旋涡的影响,低屋盖上均为风速减弱区。与低屋盖分离点相似,风经过高屋盖分离点同样会加速产生不稳定风压,但高屋盖上不产生分离涡,不存在低风速区域。风经过高屋盖后,由于惯性作用会沿高屋盖迹线继续运动,这就会使高低屋盖后侧产生一个真空区域,此区域负风压较大,导致空气向此区域挤压,形成旋涡。这个旋涡尺度很大,接近高低屋盖跨度的3倍。

#### 4 结论

本文采用Realizable k- ε 湍流模型,以高低屋盖为研究对象,对其风压分布以及流场分布进行研究,并基于流场分布对风压的分布机理进行判断。本文首先对湍流模型进行了介绍,并展示了数值模拟的参数取值和设定。之后给出了高低屋盖风压分布的定量结论,与其流场分布进行结合,分析了高低屋盖风压分布的机理,为实际工程取值和进一步研究奠定基础。

# Fig. 4 Flow field distribution of stepped roof with different wind directions 17明确风压与流场之间的关系,分析风压分布机理, 参考文献:

[1] 张明金, 李永乐, 唐浩俊, 等. 高海拔高温差深切峡谷 桥址区风特性现场实测 [J]. 中国公路学报, 2015, 28 (03): 60-65.

[2]张明金, 李永乐, 余传锦, 等. 深切峡谷桥址区高空风特性现场实测研究[J]. 西南交通大学学报, 2019, 54(3): 542-547.

[3] 沈炼, 韩艳, 蔡春声, 等. 山区峡谷桥址处风场实测与数值模拟研究[J]. 湖南大学学报(自然科学版), 2016, 43(7): 16-24.

[4] 黄国庆, 彭留留, 廖海黎, 等. 普立特大桥桥位处山区 风特性实测研究[J]. 西南交通大学学报, 2016, 51 (02): 349-356

[5] 李秋胜, 戴益民, 李正农,等. 强台风" 黑格比" 登陆过程中近地风场特性[J]. 建筑结构学报, 2010, 31(4): 54-61.

[6] 龙水, 李秋胜, 王云杰. 强台风"尤特"近地风特性实测分析[J]. 自然灾害学报, 2014, 23(6): 70-78.

[7]张传雄, 王艳茹, 黄张琦, 等. 台风"玛莉亚"作用下风场结构特征现场实测研究[J]. 自然灾害学报, 2019, 28(4): 100-110.

[8] 祝志文, 张士宁, 刘震卿, 等. 桥址峡谷地貌风场特性的CFD模拟[J]. 湖南大学学报(自然科学版), 2011, 38(10): 13-17

[9] 张博,任贺贺,陈文礼,等.尖山地区复杂地形下的 风场模拟[J].自然灾害学报,2017,26(6):22-31.